FR 9-2000-0029 Bauchot et al. 1/9

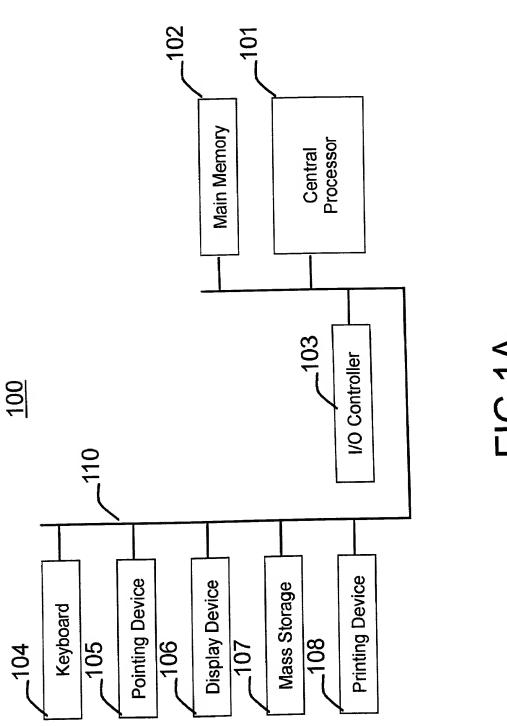
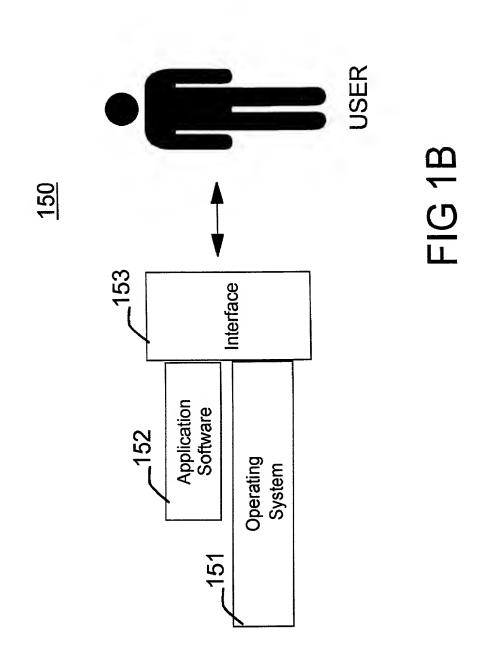


FIG 1A

FR 9-2000-0029 Bauchot et al. 2/9



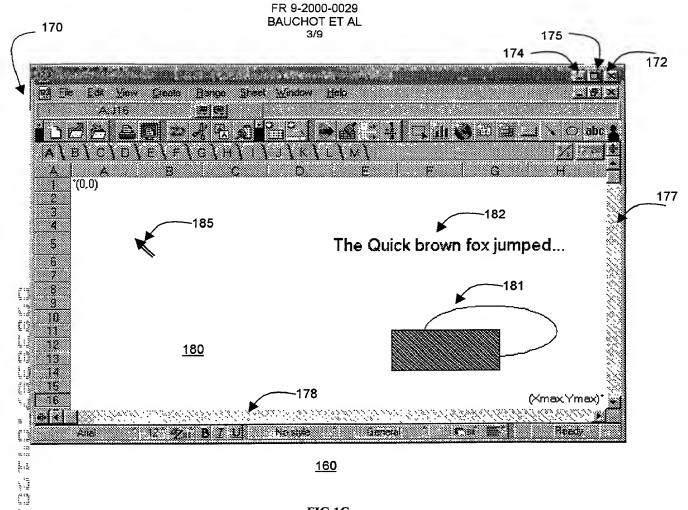
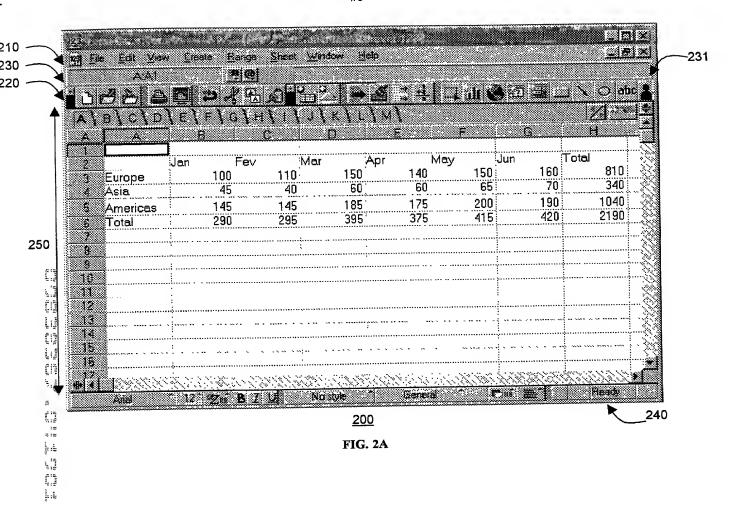


FIG.1C



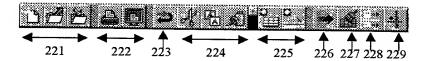


FIG. 2B

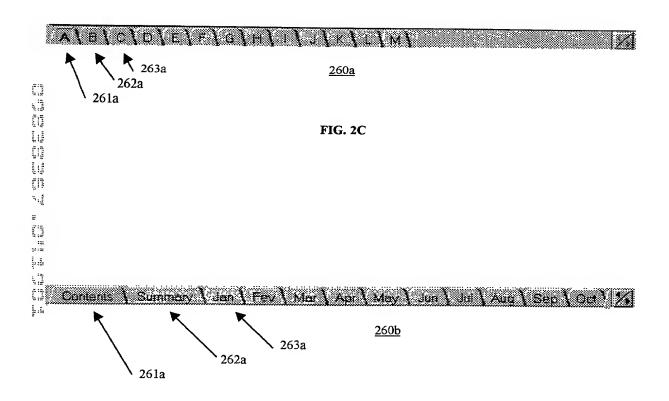
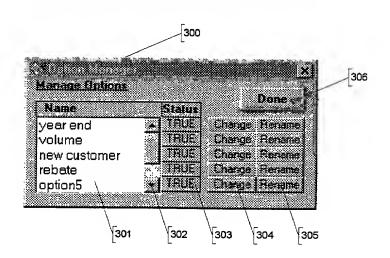


FIG. 2D

FR 9-2000-0029 Bauchot et al. 6/9



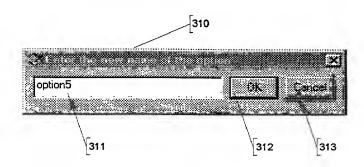


Fig. 3

FR 9-2000-0029 Bauchot et al. 7/9

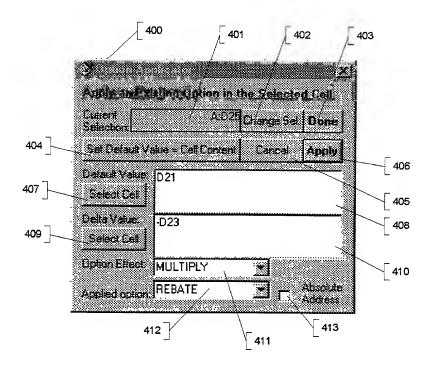


Fig. 4

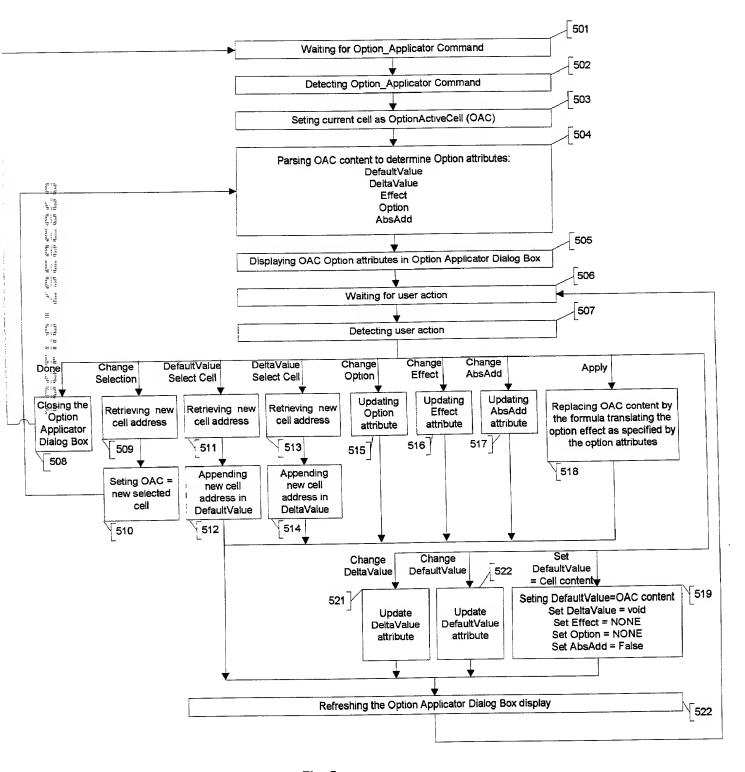


Fig. 5

FR 9-2000-0029 Bauchot et al. 9/9

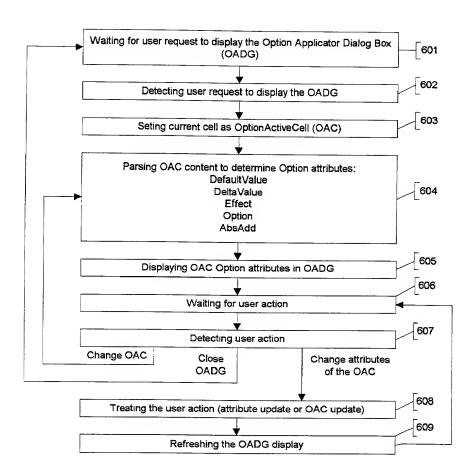


Fig. 6